

## 3. SENZORI POZICIJE

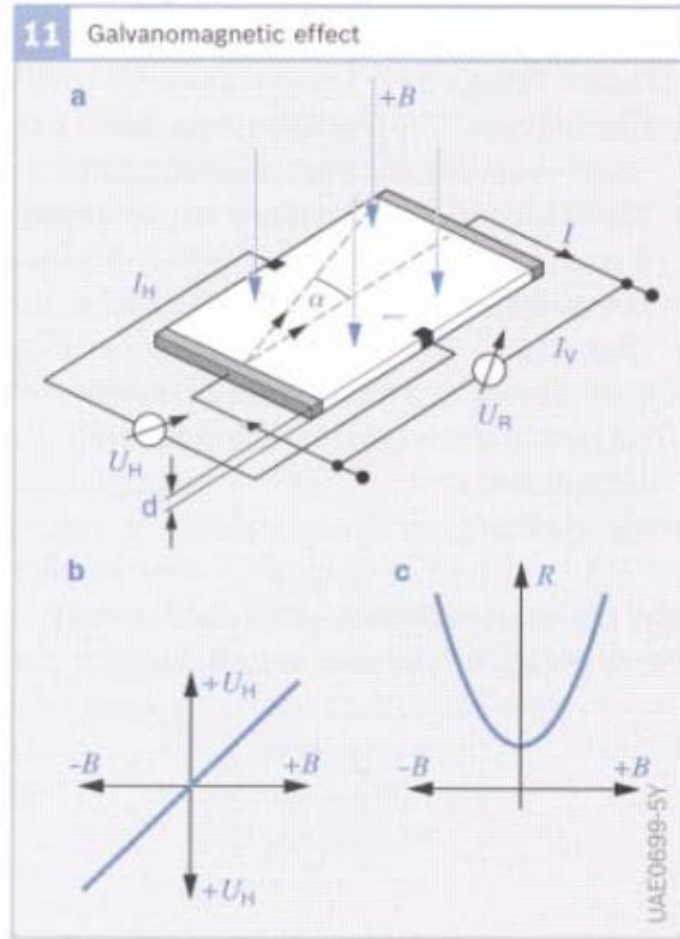
### 3.2. Magnetno-statički senzori

- **Magnetno-statički senzori** mere jačinu jednosmernog magnetnog polja (DC magnetno polje).
- U odnosu na magnetno-induktivne senzore, pogodniji su za minijaturizaciju i jeftiniji su za primenu u mikrosistemskim tehnikama proizvodnje.
- Osnovni principi rada su:
  - *galvansko-magnetični efekat* (Holov i Gausov efekt),
  - *anizotropno-magnetično otporni efekat* (AMR) u tehnici tankog filma.

## Magnetno-statički senzori - galvansko-magnetični efekt

Fig. 11

- a Circuit
- b Curve of Hall voltage  $U_H$
- c Increase of wafer resistance  $R$  (Gaussian effect)
- B Magnetic induction
- I Wafer current
- $I_H$  Hall current
- $I_V$  Supply current
- $U_R$  Longitudinal voltage
- a Deviation of the electrons due to the magnetic field



- Ako kroz poluprovodnički element debljine  $d$  protiče struja  $I$ , a na njega deluje magnetna indukcija  $B$  u normalnom pravcu, usled delovanja Lorencove sile dolazi do promene smera kretanja elektrona za ugao  $\alpha$ .
- Kao posledica neravnomerne raspodele nanelektrisanja po poluprovodničkom elementu na poprečnim krajevima pločice dolazi do generisanja napona  $U_H$ , proporcionalnog magnetnoj indukciji  $B$  i jačini struje  $I$ , odnosno:

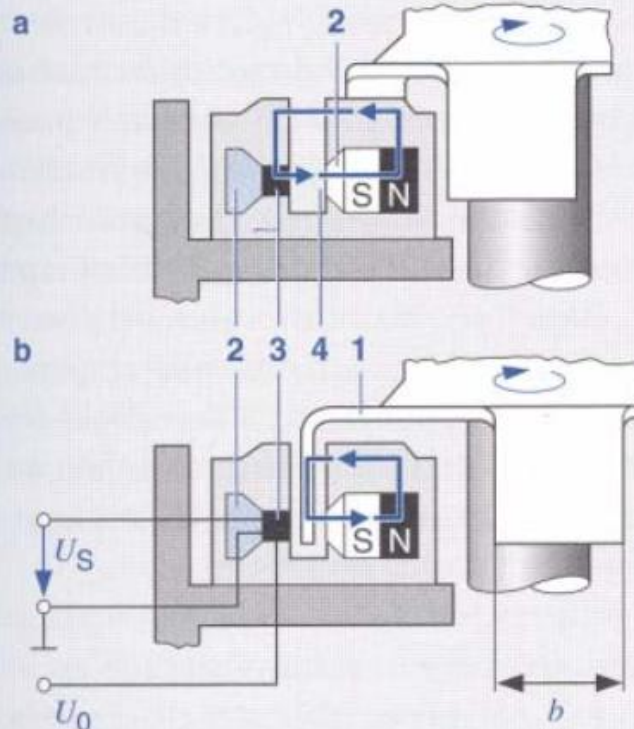
$$U_H = \frac{IBR_H}{d}$$

$R_H$  – Holov koeficijent,  
 $d$  - debljina poluprovodničkog elementa.

## Izvedbe Holovih senzora pozicije

### Holov prekidač

12 Hall vane switch



UAE0639-1Y

- Holov napon se vodi u elektronsko integralno kolo senzora (Schmitt- ov triger), pa je izlazni signal digitalnog oblika.
- Ako je magnetna indukcija  $B$  senzora ispod donje granične vrednosti, izlazna vrednost iz trigera je logička vrednost 0 (odgovara isključenom stanju), a ako je iznad gornje granične vrednosti tada odgovara logičkoj vrednosti 1 (radno stanje).
- Potrebna promena indukcije  $\Delta B$  za okidanje Holovog prekidača je obično oko 50 mT

Fig. 12

- a Magnetic flux: unhindered
- b Magnetic flux: short-circuited
- 1 Vane width  $b$
- 2 Soft-magnetic conductive element
- 3 Hall IC
- 4 Air gap
- $U_0$  Supply voltage
- $U_S$  Sensor voltage

- Nedostatak je nepreciznost merenja analognih promenljivih.

22

Digital Hall angular-position sensor with  
n Hall switches

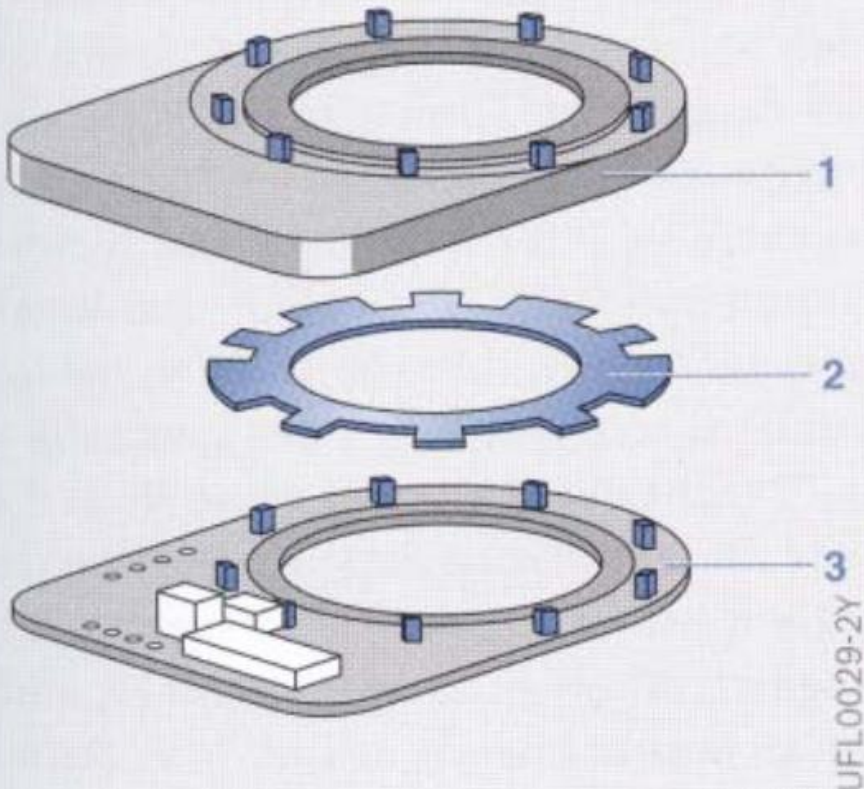


Fig. 22

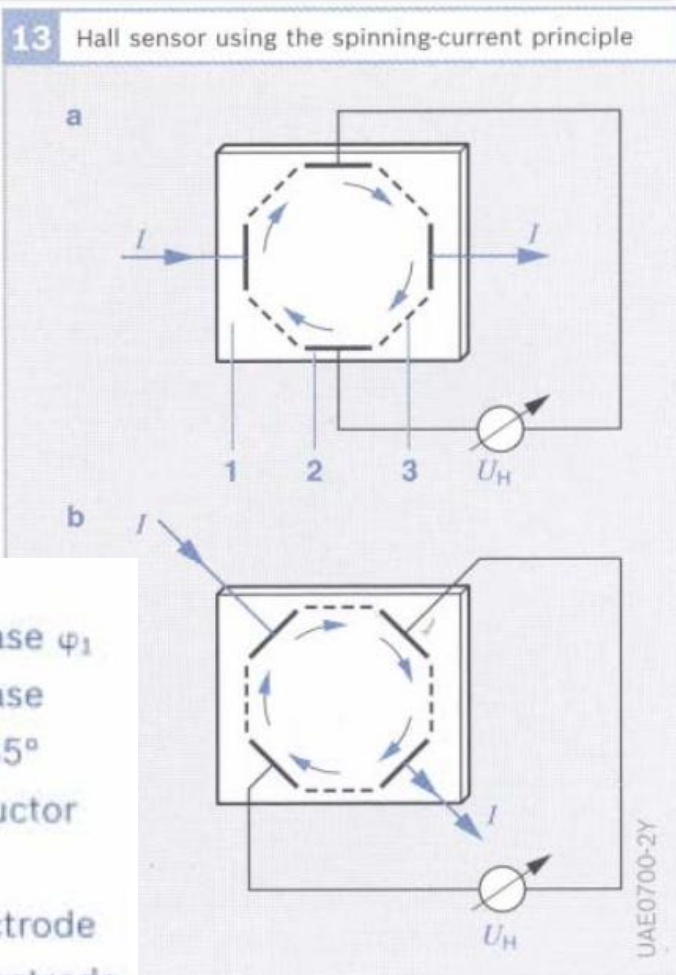
Angular position  
measurement up to  
360° with a circular,  
equidistant arrange-  
ment of simple Hall  
switches

- 1 Housing with permanent magnets
- 2 Code disk
- 3 Printed-circuit board with Hall switches

Digitalni senzor ugla upravljača

## Izvedbe Holovih senzora pozicije

### Holov senzor na principu obrtnih struja



- Osnovni nedostatak jednostavnijih silicijumskih Holovih senzora je njihova istovremena osetljivost na mehaničko naprezanje (piezo-električni efekat), što je nemoguće izbeći tokom eksploracionog veka senzora, kao i negativan uticaj temperature na tačnost merenja.
- Navedeni nedostatak može se otkloniti primenom principa **obrtnih (rotirajućih) struja**.
- Ovakav Holov senzor je pogodan za merenje malih pomaka pri kojima se registruju promene magnetnog polja permanentnog magneta.

## Izvedbe Holovih senzora pozicije

### Diferencijalni Holov senzor

14 Differential Hall sensor

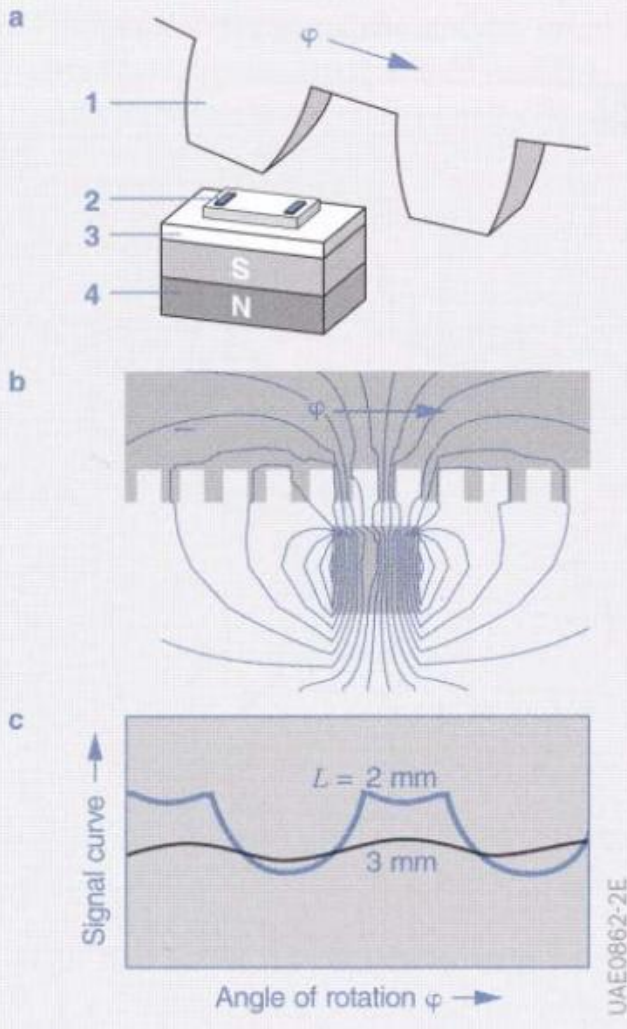


Fig. 14

- a Design
  - b Field-strength distribution (1.5 times increment spacing)
  - c Signal curve for air-gap widths  $L$
- 1 Ring gear  
2 Differential Hall IC  
3 Homogenizing wafer (soft iron)  
4 Permanent magnet

- Dva Holova sistema su postavljena na tačno definisanom rastojanju.
- Odgovarajuće elektronsko kolo obrađuje razliku dva Holova napona.
- Izlazni signal uglavnom nezavisan od apsolutne vrednosti jačine magnetnog polja, odnosno meri samo promenu magnetne indukcije u prostoru (gradijent polja), zbog čega su i dobili naziv - Gradijentni senzori.

## Izvedbe Holovih senzora pozicije

### Holov senzor ugla rotacije do 180°

15

Analog Hall angular-position sensor  
(movable magnet)

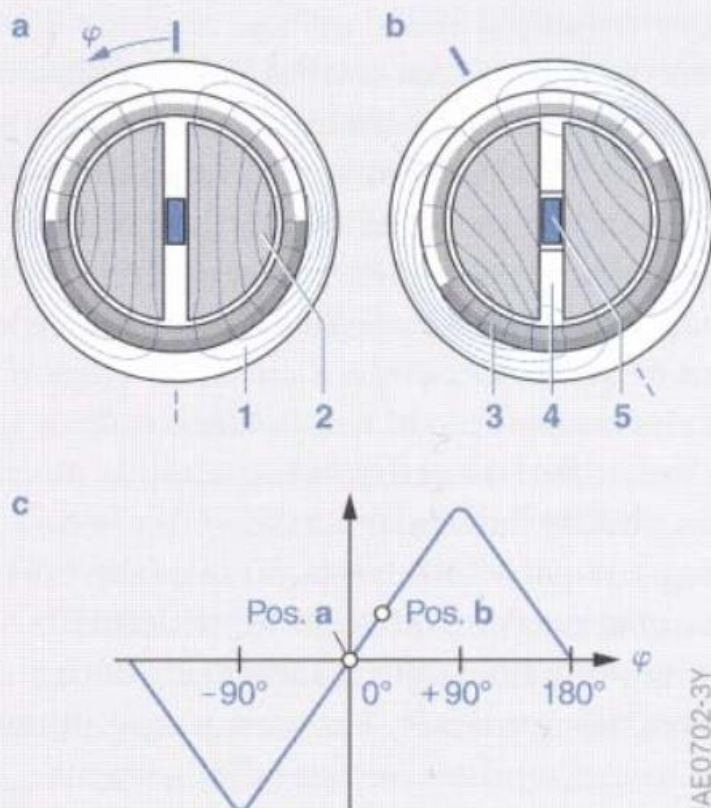


Fig. 15  
Linear characteristic curve for angles up to 180°  
a Position a  
b Position b  
c Output signal  
1 Magnetic yoke  
2 Stator (1, 2 soft iron)  
3 Rotor (permanent magnet)  
4 Air gap  
5 Hall sensor  
 $\varphi$  Angle of rotation

- Ovaj tip senzora koristi rotacioni magnetni prsten (**pokretni magnet**) sa određenim brojem fiksnih feromagnetskih provodnih elemenata.
- Izlazni signal je linearan u širem mernom području.
- Efektivna vrednost magnetnog polja preko Holovog senzora direktno zavisi od ugla rotacije  $\varphi$ .

## Holov senzor ugla rotacije tipa ARS1

16 ASR1 Hall angular-position sensor  
(movable magnet)

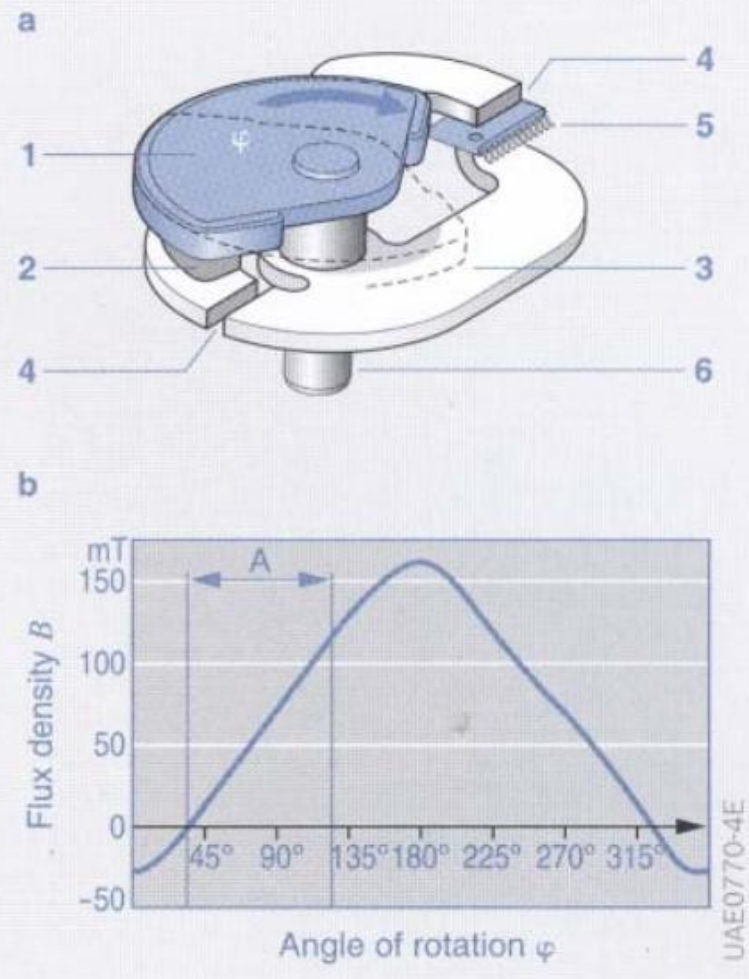


Fig. 16

Linear characteristic curve for angles up to approximately 90°

- a Design
  - b Characteristic curve with working range A
- 1 Rotor disk (permanent-magnetic)  
2 Pole shoe  
3 Conductive elemen  
4 Air gap  
5 Hall sensor  
6 Shaft (soft magnetic)

- Senzor ugla rotacije (ARS1) s mernim područjem oko 90° izveden je na principu Holovog senzora sa pokretnim magnetom.
- Magnetni fluks iz praktično polukružnog diska permanentnog magneta zatvara se preko polnog nastavka, dva dodatna provodna elementa od kojih svaki sadrži Holov senzor.
- Primenom ovog principa dobija se praktično linearna izlazna karakteristika.

## Holov senzor ugla rotacije tipa ARS2

17

ASR2 Hall angular-position sensor  
(movable magnet)

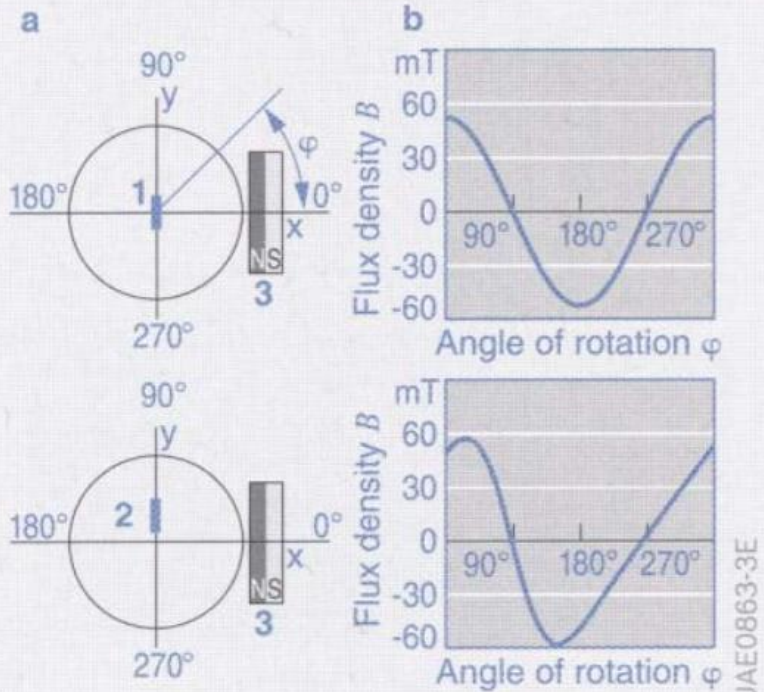


Fig. 17

Linear characteristic curve for angles over 180°

- a Principle of operation  
b Characteristic curve

- 1 Hall IC positioned in the mid-point of the circular path  
2 Hall IC located outside the mid-point (linearization)  
3 Magnet

- Senzor tip ARS2 je pojednostavljena verzija bez provodnih elemenata , u kojoj se permanentni magnet pomera po luku kruga u odnosu na Holov senzor.
- ukoliko se Holov senzor pomeri iz centra kruga, dobija se promena u izlaznom sinusnom signalu koja rezultuje povećanjem područja linearnosti karakteristike signala:
  - kraće područje  $\approx 90^\circ$
  - šire područje  $\geq 180^\circ$

Osnovni nedostaci ovog rešenja su:

- osetljivost na elektromagnetske smetnje od spoljnih polja,
- izražena zavisnost od tolerancija geometrije magnetnog kola,
- značajan uticaj temperature i eksploracionog veka na magnetni fluks permanentnog magneta.

## Izvedbe Holovih senzora pozicije

### Holov senzor ugla rotacije do 360°

18 Analog Hall sensor for 360° angles

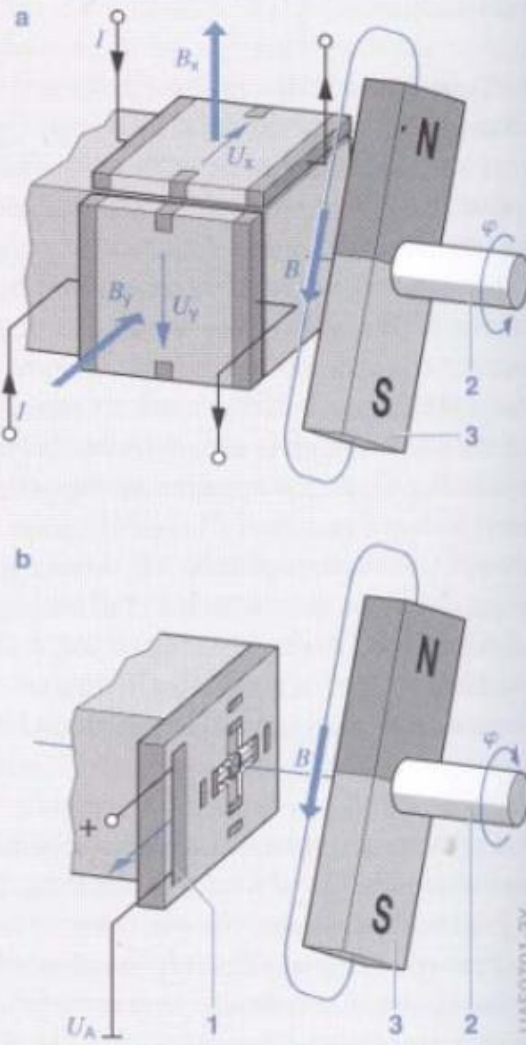


Fig. 18

- a Constructed from discrete Hall ICs
- b Constructed from planar integrated Hall ICs
- 1 Signal electronics
- 2 Camshaft
- 3 Control magnet
- $B$  Induction
- $I$  Current
- $U$  Voltage
- $U_A$  Output voltage
- $\varphi$  Angle of rotation

- Permanetni magnet rotira ispred dva Holova senzora postavljena pod uglom od 90° i paralelno u odnosu na osu rotacije permanentnog magneta.
- Merenje je ograničeno samo za montažu senzora na kraju rotacione osovine.
- Permanentni magnet mora biti dovoljne veličine da se izbegne uticaj tolerancija vezanih za njegovu ugradnju.

$$U_{H1}=U_x = B \cdot \sin\varphi$$

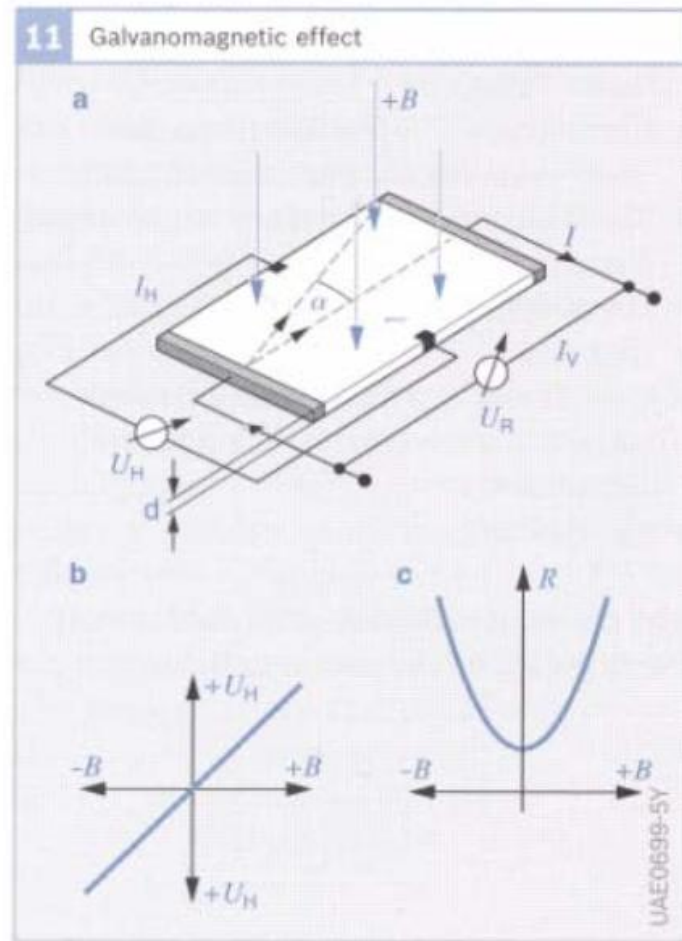
$$U_{H2}=U_y = B \cdot \cos\varphi$$

$$\varphi = \arctg (U_x/U_y)$$

## Magnetno-otporni senzori

Fig. 11

- a Circuit
- b Curve of Hall voltage  $U_H$
- c Increase of wafer resistance  $R$  (Gaussian effect)
- B Magnetic induction
- I Wafer current
- $I_H$  Hall current
- $I_V$  Supply current
- $U_R$  Longitudinal voltage
- $\alpha$  Deviation of the electrons due to the magnetic field



## Osnovi teorije magnetno-otpornih senzora

- Pored Holovog napona koji nastaje u transverzalnom smeru poluprovodničkog elementa dolazi i do efekta promene otpora u longitudinalnom smeru, poznatog pod nazivom **Gausov efekat**.
- Senzore koje koriste ovaj efekat nazivaju se magnetno-otpornim senzorima.
- Zavisnost otpora od magnetne indukcije  $B$  do približno  $0,3\text{ T}$  je kvadratna, dok je iznad te tačke promena otpora linearna sa povećanjem magnetne indukcije.

## Magnetno-otporni senzori

23

Magnetoresistive differential sensor

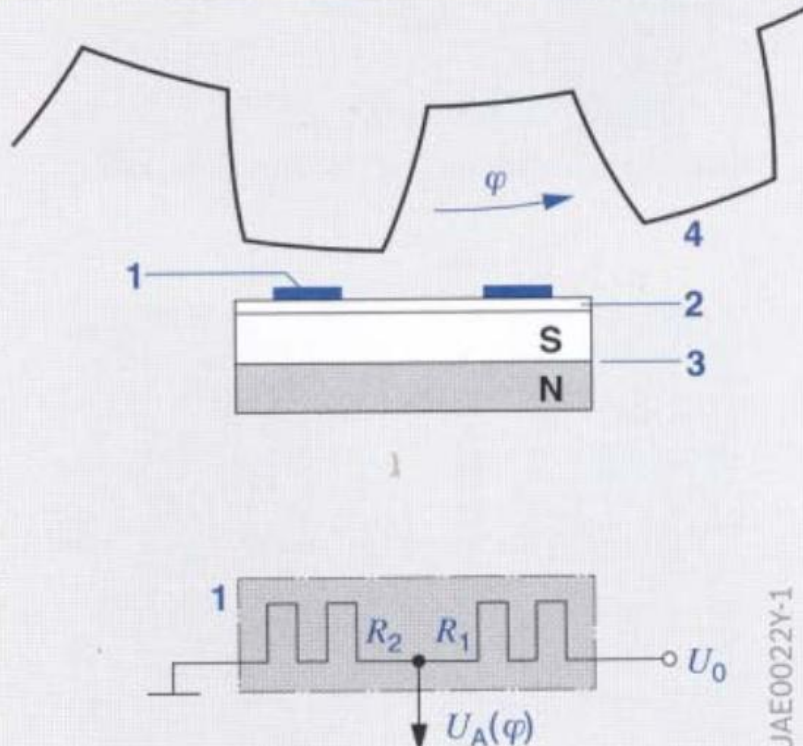


Fig. 23

Magnetic activation of a magnetoresistive differential sensor for gear wheel scanning (incremental angular position measurement, speed of rotation sensing)

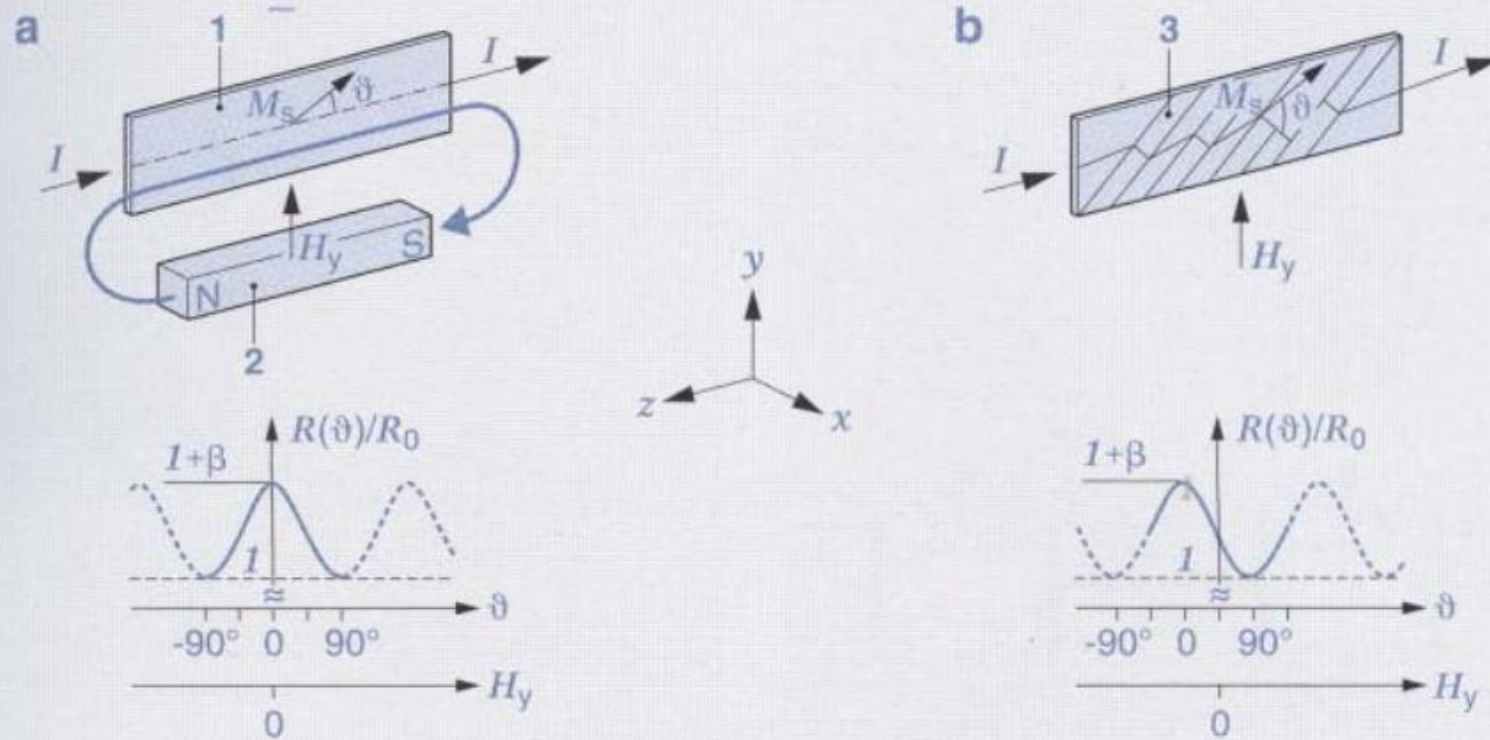
- 1 Magnetoresistors  $R_1, R_2$
- 2 Soft-magnetic substrate
- 3 Permanent magnet
- 4 Gear wheel
- $U_0$  Supply voltage
- $U_A$  Output voltage at angle of rotation  $\varphi$

- S obzirom da temperatura bitno utiče na otpornost magneto-otpornih senzora (promena temperature od 100 K dovodi do smanjenja otpornosti za oko 50 %), zbog čega se ovi senzori obavezno izvode u dualnoj konfiguraciji razdelnika napona, odnosno kao diferencijalno magnetno-otporni senzori.

- **Osnovna prednost** magnetno-otpornih senzora je visok nivo signala od (nekoliko V), što znači da nije potrebno lokalno pojačanje.
- Kako su otpornici pasivne komponente, zanemarljiv je uticaj elektromagnetskih smetnji usled čega su ovi senzori praktično imuni na spoljna magnetna polja.

## Anizotropno-magnetno otporni efekat (AMR) u tehnici tankog filma

25 AMR basic principle, barber pole structure

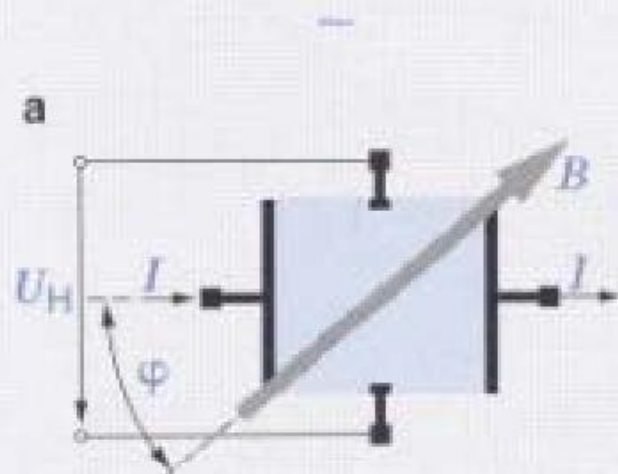


- Sloj NiFe debljine od 30-50 nm odlikuje se elektromagnetno anizotropnim karakteristikama, odnosno, električni otpor mu se menja pod uticajem elektromagnetskog polja (*Anisotropic Magneto Resistive - AMR*).
- Ta legura metala u stručnoj literaturi je poznata pod nazivom **permaloj** (*permalloy*).

26

## Pseudo Hall sensor

a



b

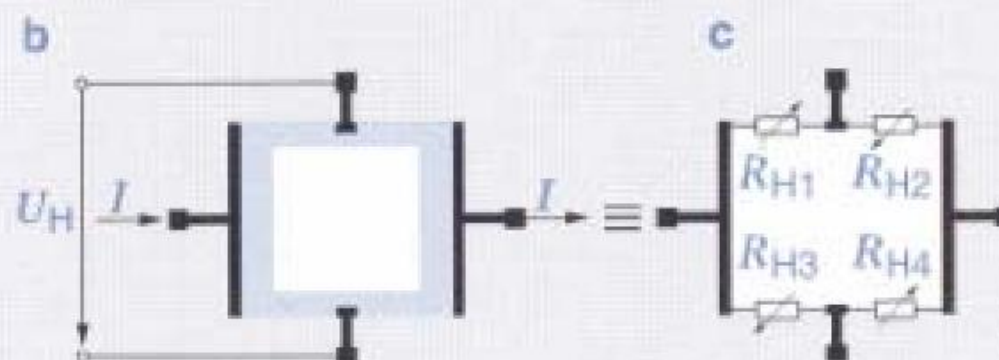


Fig. 26

- a Full area basic form
- b Modified form with hollowed surface
- c Electrical circuit diagram for form b

SAE1022-1Y

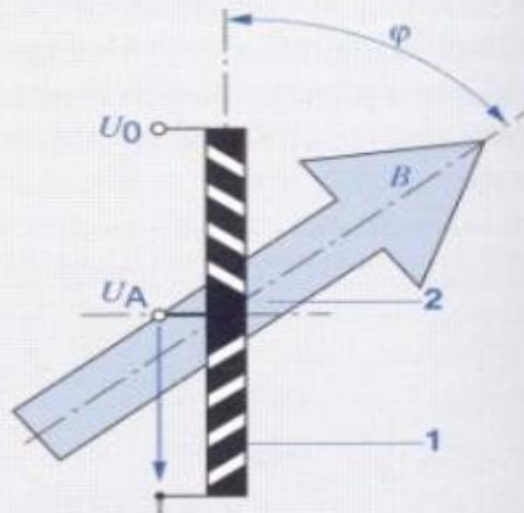
- U slučaju dvopolnog AMR elemenata, npr. na NiFe strukturi tankog filma, dobija se tzv. „pseudo-Holov“ senzor.
- Kontrolno magnetno polje  $B$  u većini slučajeva se generiše sa magnetnom koji vrši ili translatorni ili rotacioni pomeraj u odnosu na senzor.
- Za razliku od normalnog Holovog senzora, „pseudo-Holov“ senzor je osetljiv samo na magnetno polje u ravni, odnosno nije osetljiv na vertikalno polje.
- Zatim, nema proporcionalnu statičku karakteristiku već sinusnu koja nije osetljiva na jačinu kontrolnog polja.

## Senzor ugaone pozicije za uglove $< 30^\circ$

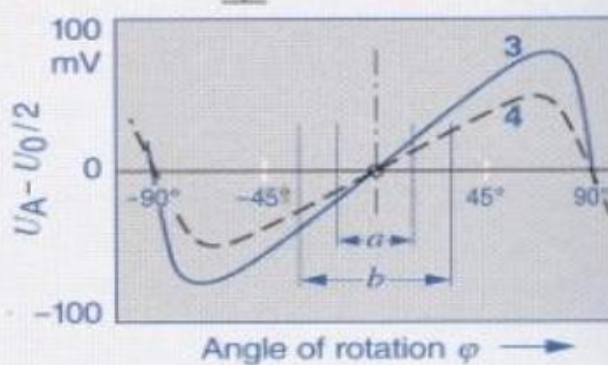
27

Magnetoresistive angular-position sensor  
(barber pole)

a



b



UAE0641-1E

Fig. 27

Measuring range  
up to  $\pm 15^\circ$

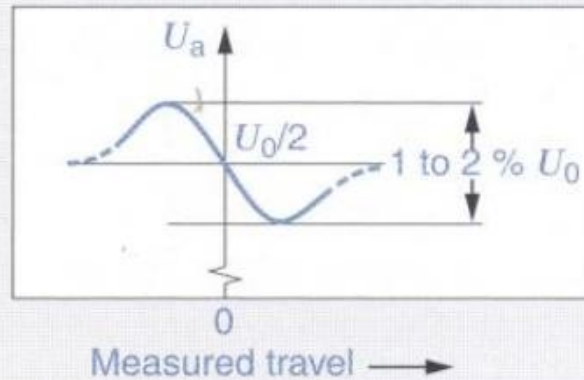
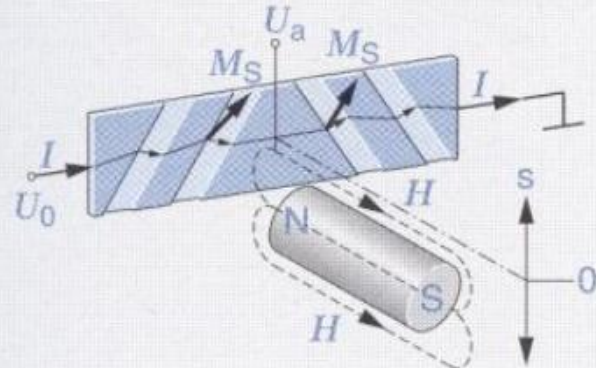
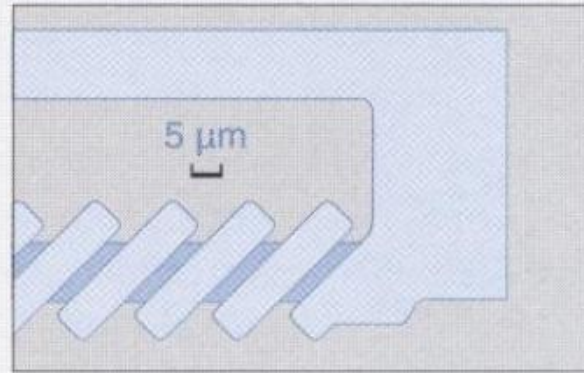
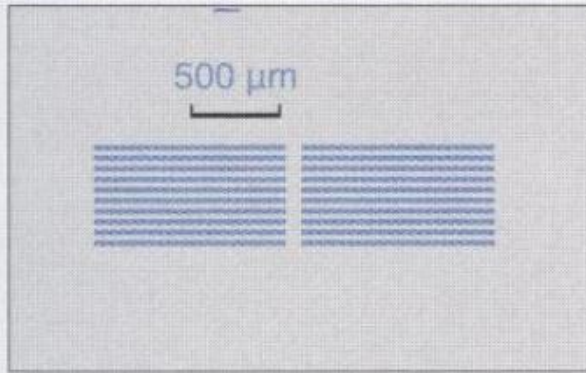
- a Measuring principle
- b Characteristic curve
- 1 Permalloy resistors
- 2 Rotatable permanent magnet with control induction  $B$
- 3 Lower operating temperature
- 4 Higher operating temperature
- a Linear measuring range
- b Effective measuring range
- $U_A$  Output voltage
- $U_0$  Supply voltage (5V)
- $\varphi$  Angle of rotation

- „Barber pole“ senzor ugaone pozicije karakteriše ograničena tačnost i ograničeno područje primene (max.  $\pm 15^\circ$ ).
- Princip rada se zasniva na nesimetričnom magneto-otpornom naponskom delitelju koji sadrži „permaloy“ otpornike sa zlatnom trakom visoke provodnosti.
- Izlazna karakteristika senzora bitno zavisi od temperature (slika b).

## „Barber pole“ senzor linearnih pomaka

28

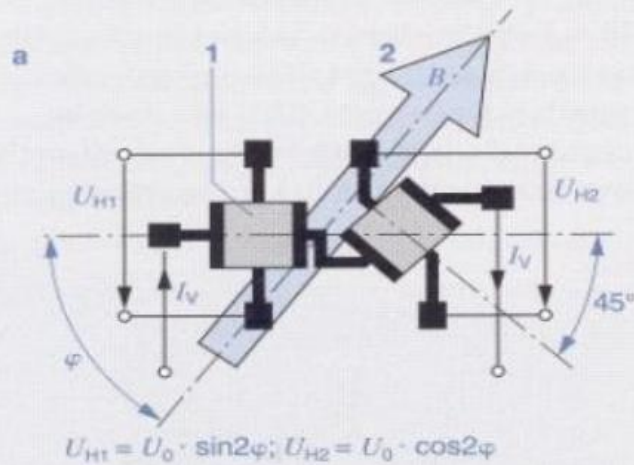
Displacement measurement with single differential barber pole



## Senzor ugaone pozicije za uglove < 180°

30

Magnetoresistive angular-position sensor  
(pseudo Hall)



**Fig. 30**  
Measuring range up to 180°  
 a Measuring principle  
 b Output signals  
 1 Thin NiFe film (AMR sensor)  
 2 Rotatable permanent magnet with control induction  $B$   
 $I_V$  Supply current  
 $U_{H1}, U_{H2}$  Measurement voltages  
 $\varphi$  Angle of rotation

UAED42-3E

- Magnetno-otporni senzor ugaone pozicije tipa „pseudo-Hall“ karakteriše pravi sinusni signal na izlaznim stezaljkama četveropolne strukture senzora.
- dve pune periode električnog signala odgovaraju mehaničkoj rotaciji magneta za 360°.
- Pomoću drugog elementa, koji je zakrenut za 45°, generiše se i kosinusni signal.

## Senzor ugaone pozicije za uglove do 360°

31

AMR360 angular-position sensor with field direction modulation

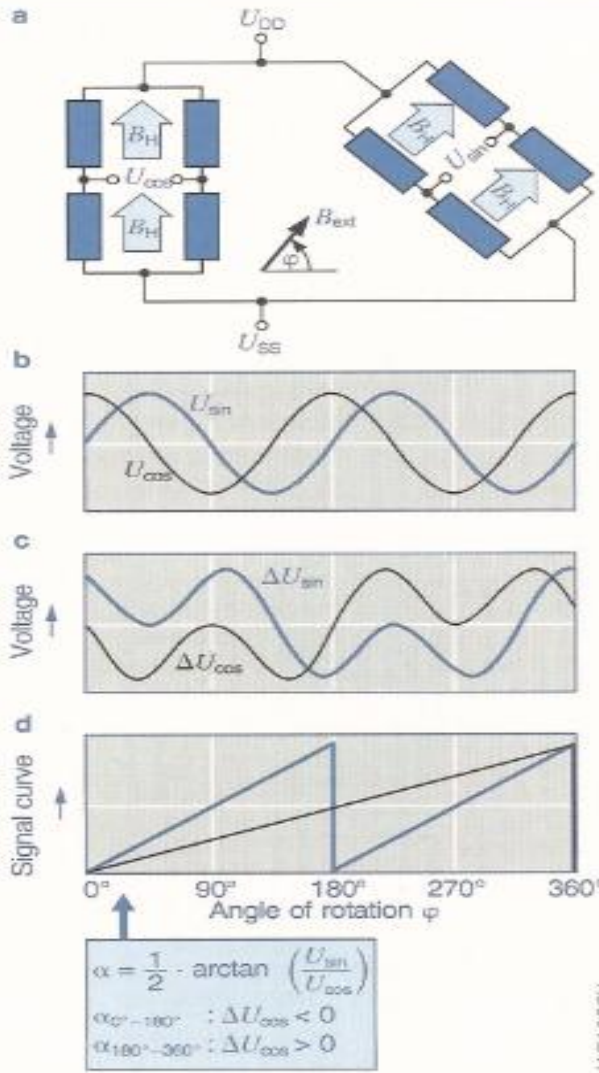


Fig. 31

- a Bridge circuit
  - b Output signals from the Wheatstone bridges
  - c Influence of the auxiliary field on the signals
  - d Output signal from the evaluation circuit
- $B_H$  Control Induction  
 $U_{DD}, U_{SS}$  Supply voltages  
 $U_{sin}, U_{cos}$  Measurement voltages  
 $\varphi$  Angle of rotation

## Senzor ugaone pozicije za uglove veće od $360^{\circ}$

33

Arrangement for angular measurement in excess of  $360^{\circ}$

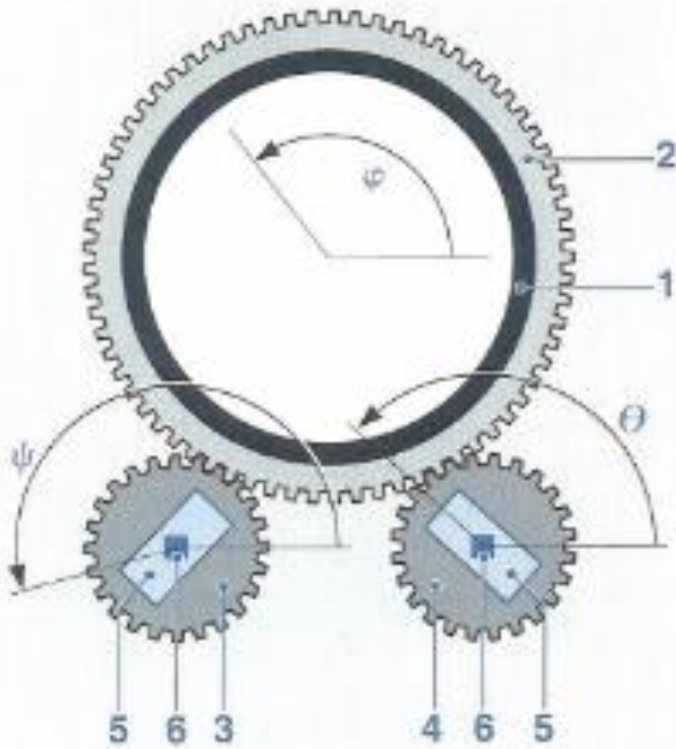


Fig. 33

- 1 Steering axle
- 2 Ring gear
- 3 Gear wheel with  $m$  teeth
- 4 Gear wheel with  $m + 1$  teeth
- 5 Magnets
- 6 AMR sensor elements
- $\varphi$  Angle of rotation of the steering column
- $\Psi, \theta$  Angle of rotation of the small gear wheels

UAE0704-2Y

- Dvostruka konfiguracija „pseudo-Holvo“ senzora ugla rotacije (za  $180^{\circ}$ ) može se primeniti za određivanje položaja uga upravljača.
- Dva permanenta magneta rotiraju, svaki sa svojim zupčanikom.
- Zbog dva manja izlazna zupčanika, koji se razlikuju za po jedan zub, njihov međusobni ugao (razlika uglova rotacije) predstavlja tačnu mernu apsolutnu poziciju ugla upravljača.
- Sistem je projektovan tako da fazna razlika ne prelazi  $360^{\circ}$  za ukupno 4 obrtaja osovine upravljača.

# SENZORI I AKTUATORI

Primer primene senzora ugaone pozicije za uglove veće od  $360^{\circ}$

1 LWS3 AMR steering-angle sensor (principle)

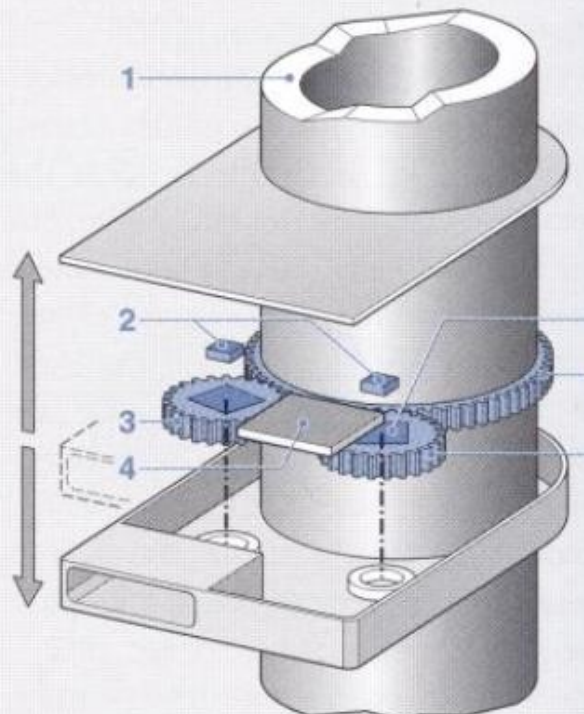


Fig. 1

- 1 Steering shaft
- 2 AMR sensor elements
- 3 Gear wheel with m teeth
- 4 Evaluation electronics
- 5 Magnets
- 6 Gear wheel with  $n > m$  teeth
- 7 Gear wheel with  $m + 1$  teeth

2 LWS3 AMR steering-angle sensor (view)



3 LWS4 AMR steering-angle sensor for mounting on the end of the steering axle

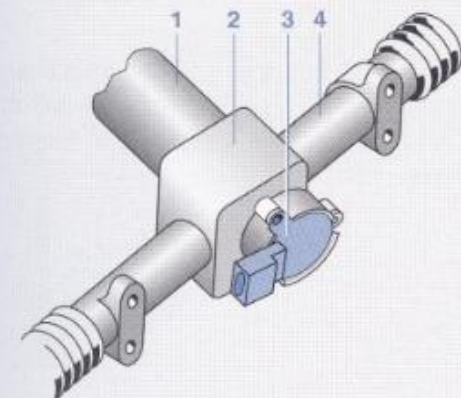
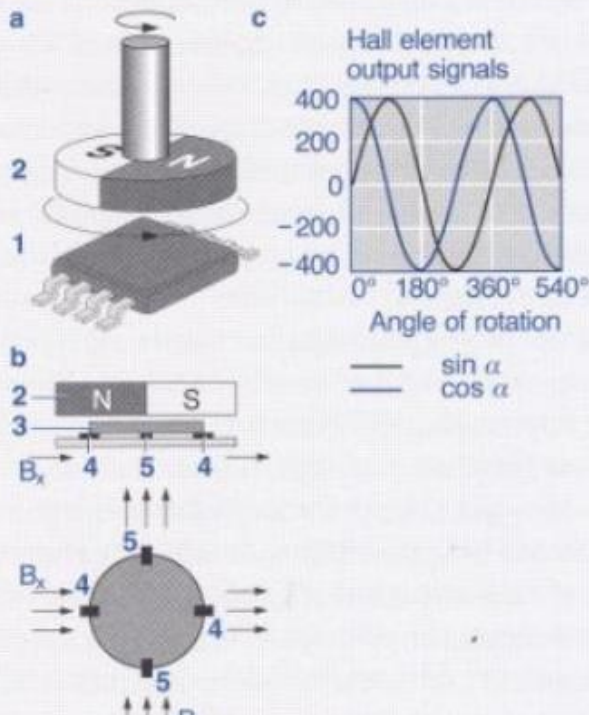


Fig. 3

- 1 Steering column
- 2 Steering gear
- 3 Steering-angle sensor
- 4 Steering rack

# SENZORI I AKTUATORI

**4** Measuring principle of FPM2.3



**Fig. 4**

- a Design
  - b Principle
  - c Measurement signals
- 1 Integrated circuit (IC) with Hall elements
  - 2 Magnet (opposing magnet not shown here)
  - 3 Conductive element
  - 4 Hall elements (for recording x-components of B)
  - 5 Hall elements (for recording y-components of B)
  - B<sub>x</sub> Homogenous magnetic field (x-components)
  - B<sub>y</sub> Homogenous magnetic field (y-components)

**5** Exploded view of FPM2.3 accelerator-pedal module



**Fig. 5**

- 1 Pedal
- 2 Cover
- 3 Spacer sleeve
- 4 Sensor block with housing and plug
- 5 Bearing block
- 6 Shaft with two magnets and hysteresis elements (round magnets not visible)
- 7 Kickdown (optional)
- 8 Two springs
- 9 Stop damper
- 10 Thrust member
- 11 Floor cover